

## ОПТИКА И СПЕКТРОСКОПИЯ

УДК 535.317:621.378

## СТАТИСТИЧЕСКИЕ ХАРАКТЕРИСТИКИ САМОВОСПРОИЗВОДЯЩИХСЯ ДИФФРАКТАЛОВ

**П. В. Короленко, Е. В. Поздеева, О. В. Саенко**

(кафедра оптики и спектроскопии)

E-mail: korolenko@optics.npi.msu.su

**Рассмотрено проявление эффекта Тальбо при распространении периодических диффракталов — волн, изначально имеющих однородное распределение амплитуды и фрактальное распределение фазы. Показано, что стандартные отклонения фазы и интенсивности по поперечным координатам претерпевают вдоль направления распространения диффрактала глубокую периодическую модуляцию. При этом фрактальные размерности распределений фазы и интенсивности не испытывают существенных изменений.**

Исследование процессов дифракционного преобразования амплитудно-фазовой структуры светового излучения с изначально стохастическими возмущениями волнового фронта составляет важный раздел статистической оптики [1, 2]. В фундаментальной работе М. Берри [3] был, по-видимому, впервые рассмотрен новый аспект теории дифракции случайных полей, относящийся к волнам, имеющим в начальной плоскости фрактальное распределение фазы световых колебаний при однородном распределении интенсивности. Такие волны М. Берри назвал диффракталаами.

В данной работе, в отличие от [3], рассмотрены характеристики диффракталаов, которые имеют в поперечном сечении периодическую структуру поля. Цель исследования состояла в оценке и сопоставлении характера изменений амплитудно-фазовых возмущений и фрактальных признаков в структуре таких диффракталаов в процессе их распространения. В силу эффекта Тальбо [4] периодические диффрактала обладают свойством самовоспроизведения первоначального амплитудно-фазового распределения. Отметим, что в последнее время интерес к изучению особенностей проявления эффекта Тальбо в разнообразных световых структурах и оптических системах заметно вырос. Это связано со все более широким использованием этого эффекта в лазерных и метрологических устройствах [5–8]. Появились данные [9], что волны с самовоспроизводящейся структурой могут играть важную роль в процессах лазерной биостимуляции.

Все приведенные ниже результаты расчетов относятся к одномерным возмущениям волнового фронта. При моделировании начального распределения фазы  $\Phi_k$  диффрактала использовалась функция Вейерштрасса [10]

$$\Phi_k = \frac{\sqrt{2}\sigma_0 [1 - b^{2(D-2)}]^{1/2}}{[1 - b^{2(D-2)(N+1)}]^{1/2}} \times$$

$$\times \sum_{n=0}^N b^{(D-2)n} \cos(2\pi s b^n k + \psi_n). \quad (1)$$

Здесь  $\sigma_0$  — стандартное отклонение фазы световых колебаний в начальной плоскости от фазы плоской волны,  $b, s$  — масштабирующие параметры (при целочисленном значении параметра  $b$  функция (1) становится периодической с периодом  $a = s^{-1}$ ),  $\psi_n$  — случайная фаза, равномерно распределенная на интервале  $[0, 2\pi]$ ,  $D$  — фрактальная размерность графика функции Вейерштрасса, индекс  $k$  характеризует распределение значащих точек по поперечной координате. При проведении расчетов полагалось, что число гармоник  $N_g = N + 1$  функции (1) конечно и тем самым ее производная в каждой точке имеет определенное значение. Это существенно отличает рассматриваемую модель диффрактала от модели [3], в которой при  $N \rightarrow \infty$  распределение фазы  $\Phi_k$  задается непрерывной, но нигде не дифференцируемой функцией. Из формулы (1) видно, что начальное распределение фазы самовоспроизводящегося диффрактала включает элементы регулярности и случайности. Первые обусловлены периодичностью фазового распределения по поперечной координате, вторые — случайным характером изменения фазы в пределах периода.

Распределение светового поля диффрактала в начальной плоскости задавалось в виде

$$U_{0,k} = A \exp \{i\Phi_k\}, \quad (2)$$

где амплитуда  $A$  имеет постоянное значение (в дальнейшем для простоты полагается, что величина  $A = 1$ ). Если распределение (2) периодично, то для анализа флуктуаций излучения могут быть использованы представления дробного эффекта Тальбо [11]. Согласно этому эффекту, на расстояниях от начальной плоскости  $z = \frac{z_0}{4q}$  ( $z_0$  — расстояние самовоспроизведения начальной структуры поля, связанное с ее периодом  $a$  и длиной волны  $\lambda$  соотношением

$z_0 = 2a^2/\lambda$ ;  $q = 1, 2, \dots$ ) структура поля представляет собой суперпозицию смещенных относительно друг друга по поперечной координате и сдвинутых по фазе начальных распределений световой волны. Для распределения поля в указанных плоскостях справедливо выражение [11]

$$U_k = e^{(-i\frac{\pi}{4})} \frac{1}{\sqrt{2q}} \sum_{m=0}^{2q-1} \left( e^{i\frac{\pi}{2q}m^2} U_{o,k+m\frac{a}{2q}} \right). \quad (3)$$

Расчет поля дифрактала на основе выражения (3) хотя и обеспечивает высокую точность как при слабых, так и при сильных флюктуациях, но обладает ограниченными возможностями, поскольку позволяет определять амплитуду и фазу лишь в строго определенных плоскостях. Поэтому наряду с формулой (3) для слабых флюктуаций, когда  $\sigma_0 \ll 1$ , использовалось выражение

$$U_k = \sum_{n=0}^N \left( \sum_{p=-\infty}^{-1} J_{|p|} (b^{(D-2)n} \zeta) (-1)^{|p|} \times \right. \\ \times e^{-i(2\pi b^n (zp^2 b^n - skp) - p\xi_n)} + \\ \left. + \sum_{p=0}^{+\infty} J_p (b^{(D-2)n} \zeta) e^{-i(2\pi b^n (zp^2 b^n - skp) - p\xi_n)} \right) - N, \quad (4)$$

где  $\zeta = \frac{\sqrt{2}\sigma_0 [1 - b^{2(D-2)}]^{1/2}}{[1 - b^{2(D-2)(N+1)}]^{1/2}}$ ,  $\xi_n = \psi_n + \pi/2$ ,  $J_p(X)$  — функция Бесселя порядка  $p$ . Поскольку функция Вейерштрасса (1) представляет сумму гармонических функций, формулу (4) можно легко получить, если воспользоваться элементами теории, описывающей дифракцию волны с синусоидальной модуляцией волнового фронта [2].

Формула (4) может быть также приведена к виду

$$U_k = \prod_{n=0}^N \left( \sum_{p=-M}^{-1} J_{|p|} (b^{(D-2)n} \zeta) (-1)^{|p|} \times \right. \\ \times e^{-i(2\pi b^n (zp^2 b^n - skp) - p\xi_n)} + \\ \left. + \sum_{p=0}^M J_p (b^{(D-2)n} \zeta) e^{-i(2\pi b^n (zp^2 b^n - skp) - p\xi_n)} \right). \quad (5)$$

Сравнение результатов расчетов по формулам (3) и (5) показало, что необходимая точность вычислений достигается, если параметр  $M$ , характеризующий диапазон суммирования, примерно равен 10. Отметим, что формулы (4) и (5) справедливы и для непериодических дифракталов.

В ходе численного моделирования рассчитывались на разных расстояниях  $z$  от начальной плоскости распределения интенсивности и фазы дифракталов, соответствующих задаваемым значениям стандартного отклонения фазы  $\sigma_0$  и фрактальной размерности  $D$ . Затем для каждого значения  $z$  определялись усредненные по реализациям, отличающимся случайному набором значений  $\psi_n$ , стан-

дартные отклонения фазы  $\sigma_\varphi$  и интенсивности  $\sigma_I$ . Одновременно производилась оценка фрактальных размерностей распределения фазы и распределения интенсивности. Эта оценка основывалась на анализе поведения построенного в логарифмических координатах графика зависимости дельта-дисперсии профилей фазы и интенсивности дифрактала от величины приращения поперечной координаты [12]. Фрактальная размерность  $D$  связана с тангенсом  $T$  угла наклона линейного участка графика соотношением  $D = 2 - T/2$ . Диапазон изменений приращения поперечной координаты, соответствующий линейному участку графика, определяет величину области скейлинга, в которой проявляется локальная масштабная инвариантность флюктуаций поля дифрактала. Оценка по этой методике области скейлинга начального распределения фазы  $\Phi_k$  показывает, что ее величина ограничена снизу периодом самой высокочастотной гармоники, а сверху — величиной, равной примерно половине периода дифрактала  $a$ .

Результаты расчетов характеристик дифракталов, выполненных для слабых флюктуаций, иллюстрируют рис. 1. На рис. 1, *а* изображена полученная с помощью функции (1) одна из реализаций распределения фазы в начальной плоскости, соответствующая значениям  $D = 1.25$ ,  $\sigma_0 = 0.2$ ,  $b = 3$ ,  $s = 0.001$ ,  $N_g = 5$ . При таком задании параметров количество значащих точек, приходящихся на период высшей гармоники функции (1), равно 12, а на период низшей — 1000. На рис. 1, *б* приведены усредненные по

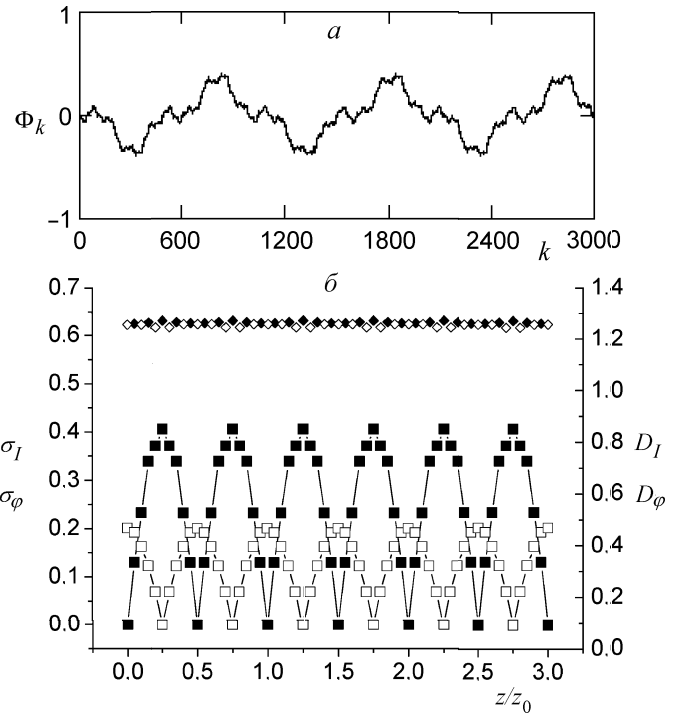


Рис. 1. Распределение фазы в начальной плоскости периодического дифрактала (*а*); зависимость стандартных отклонений  $\sigma_\varphi$ ,  $\sigma_I$  и фрактальных размерностей  $D_\varphi$ ,  $D_I$  от нормированной продольной координаты  $z/z_0$  (*б*) (случай слабых флюктуаций). Незакрашенные квадраты —  $\sigma_\varphi$ , закрашенные квадраты —  $\sigma_I$ , незакрашенные ромбы —  $D_\varphi$ , закрашенные ромбы —  $D_I$

реализациям данные о величине стандартных отклонений фазы  $\sigma_\varphi$  и интенсивности  $\sigma_I$  на различных расстояниях от начальной плоскости, а также данные о фрактальных свойствах распределений фазы и интенсивности. Расстояния измеряются в долях длины самовоспроизведения начальной структуры светового поля  $z_0$ . Из рис. 1, б видно, что величины  $\sigma_\varphi$  и  $\sigma_I$ , испытывая монотонные «противофазные» изменения, самовоспроизводятся с периодом  $z_0/2$ . В плоскостях  $z = z_0/4 + z_0 j/2$  ( $j = 0, 1, 2, \dots$ )  $\sigma_I$  вдвое превосходит величину  $\sigma_0$ . Существенным является тот факт, что формирующиеся при распространении дифрактала пространственные флюктуации интенсивности также приобретают фрактальные признаки, при этом фрактальная размерность распределения интенсивности  $D_I$  на разных расстояниях от начальной плоскости близка к фрактальной размерности распределения фазы  $D_\varphi$ , не претерпевающей заметных изменений по сравнению с начальным значением. Исключение составляют расстояния  $z = z_0/4 + z_0 j/2$ . На этих расстояниях при максимальных значениях  $\sigma_I$  волновой фронт становится плоским ( $\sigma_\varphi = 0$ ) и фрактальность в распределении фазы исчезает ( $D_\varphi = 1$ ). В свою очередь размерность  $D_I$  становится равной единице на расстояниях, кратных величине  $z_0/2$ , где распределение интенсивности становится однородным. Обращает на себя внимание малый разброс вычисляемых параметров дифракталов, соответствующих различным реализациям начального поля (определенные по 30 реализациям среднеквадратичные отклонения параметров, нормированные на средние значения, не превышали 0.02).

Параллельно с оценкой фрактальной размерности флюктуаций производилась оценка областей скейлинга. Она, в частности, показала, что при высокой стабильности фрактальной размерности развивающихся при распространении дифрактала флюктуаций интенсивности область наблюдаемого в них скейлинга претерпевает заметные изменения. Если вблизи начальной плоскости и плоскостей самовоспроизведения величина области скейлинга много меньше периода дифрактала  $a$ , то при удалении от них область скейлинга приближается к величине  $a/2$ . Такое увеличение области скейлинга физически объясняется тем, что вблизи указанных плоскостей основной вклад в изменения интенсивности вносят мелкомасштабные возмущения фазы, при удалении же от них возрастает роль крупномасштабных возмущений.

В ходе численного моделирования были рассмотрены также особенности преобразования поля дифрактала при сильных начальных флюктуациях фазы. На рис. 2 показано рассчитанное для этого случая с помощью формулы (3) поведение стандартного отклонения интенсивности  $\sigma_I$  и фрактальной размерности  $D_I$ . Полученные путем усреднения по реализациям графики соответствуют тем же па-

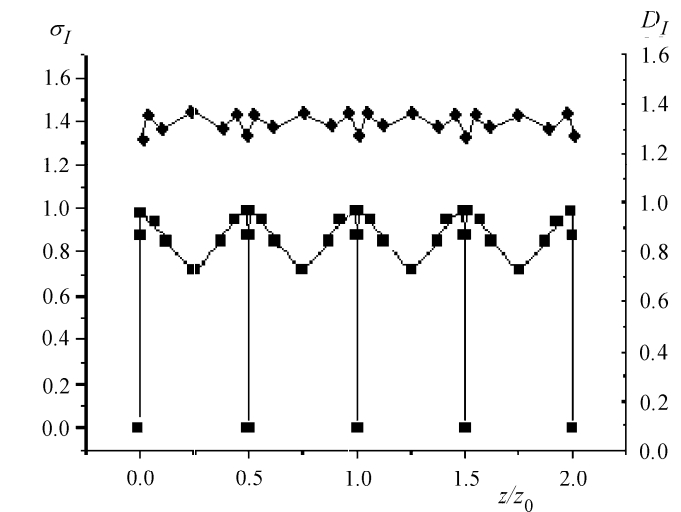


Рис. 2. Зависимость стандартного отклонения  $\sigma_I$  (а) и фрактальной размерности  $D_I$  от нормированной продольной координаты  $z/z_0$  (б) (случай сильных флюктуаций).

Закрашенные квадраты —  $\sigma_I$ , закрашенные ромбы —  $D_I$

метрам начального распределения поля дифрактала, что и графики, представленные на рис. 1, б, но имеют более высокое значение  $\sigma_0$  ( $\sigma_0 = 3$ ). Характеристики распределения фазы на рис. 2 не приводятся, поскольку при сильных флюктуациях это распределение сильно искажено возникающими в процессе распространения дифрактала краевыми дислокациями волнового фронта, вызывающими скачки фазы на величину  $\pi$ . Из рисунка видно, что в отличие от слабых флюктуаций  $\sigma_I$  достигает своего максимального значения на расстояниях много меньших  $z_0$ . На расстояниях же  $z = z_0/4 + z_0 j/2$  имеет место промежуточный минимум. По сравнению с  $\sigma_I$  фрактальная размерность  $D_I$  испытывает лишь небольшие изменения вблизи значения, равного  $D$ . Несмотря на устойчивый в целом характер поведения параметров  $\sigma_I$  и  $D_I$  при сильных флюктуациях, следует отметить, что их нормированные среднеквадратичные отклонения заметно увеличивались по сравнению со случаем слабых флюктуаций, достигая значения 0.05.

Для того чтобы установить, какие из приведенных выше характеристик свойственны именно периодическим дифрактalam, было проведено численное моделирование свойств дифракталов, не обладающих свойством периодичности. Пример структуры первоначального распределения фазы такого дифрактала приведен на рис. 3, а. Это распределение отличается от приведенного на рис. 1, а только значением параметра  $b$ , которое в данном случае принималось равным  $b = 2.9$ . На рис. 3, б показано поведение характеристик непериодического дифрактала в зависимости от продольной координаты  $z$  (с учетом малого различия параметра  $b$  у сравниваемых дифракталов продольная координата нормирована на расстояние самовоспроизведения  $z_0$  периодического дифрактала). Видно, что исчезает регулярное самовоспроизведение по оси  $z$  величин  $\sigma_\varphi$  и  $\sigma_I$ , хотя противофазный характер их изменения сохра-

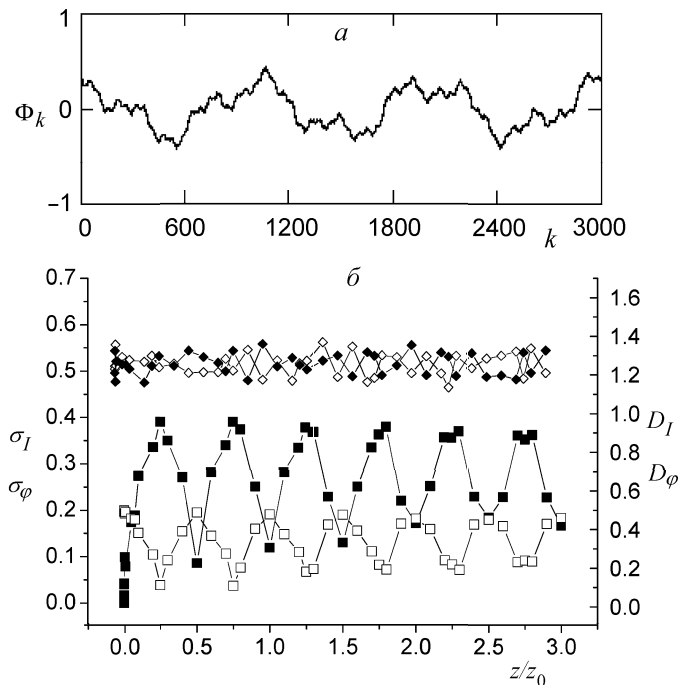


Рис. 3. Распределение фазы в начальной плоскости непериодического дифрактала (а); зависимость стандартных отклонений  $\sigma_\varphi$ ,  $\sigma_I$  и фракタルных размерностей  $D_\varphi$ ,  $D_I$  от нормированной продольной координаты  $z/z_0$  (б) (случай слабых флуктуаций). Незакрашенные квадраты —  $\sigma_\varphi$ , закрашенные квадраты —  $\sigma_I$ , незакрашенные ромбы —  $D_\varphi$ , закрашенные ромбы —  $D_I$

няется. В поле дифрактала отсутствуют плоскости, где  $\sigma_\varphi$  или  $\sigma_I$  обращаются в ноль. Что касается размерностей  $D_\varphi$  и  $D_I$ , то они и в этом случае оказываются близкими к величине  $D$ . Отметим, что средние значения  $\sigma_\varphi$  и  $\sigma_I$  при удалении от начальной плоскости, с хорошим приближением описываются стандартными отклонениями интенсивности  $\tilde{\sigma}_I$  и фазы  $\tilde{\sigma}_\varphi$  волны, дифрагировавшей на случайному экране. Последние, как известно [1], удовлетворяют соотношениям  $\tilde{\sigma}_I = \sqrt{2}\sigma_0$  и  $\tilde{\sigma}_\varphi = (\sqrt{2}/2)\sigma_0$ .

Отмеченные выше в ходе анализа графиков на рис. 1–3 закономерности получили подтверждение при моделировании свойств дифракталов с иным набором параметров в начальной плоскости. Тем самым, обобщая все полученные результаты, можно сделать вывод, что статистические характеристики периодических дифракталов самовоспроизводятся по продольной координате  $z$  с периодом  $z_0/2$ , где

$z_0$  — длина самовоспроизведения начального фазового профиля. В общем случае вдоль продольной координаты имеют место значительные «противофазные» изменения стандартных отклонений фазы и интенсивности. Значительно большей устойчивостью характеризуется поведение фрактальных размерностей распределений фазы и интенсивности. При этом существенным является то, что фрактальные размерности распределений фазы и интенсивности, за исключением плоскостей  $z = z_0j/4$ , практически равны между собой и совпадают с фрактальной размерностью начального распределения фазы. Последнее свойство не является, однако, атрибутом дифракталов с периодической структурой. Аналогичным свойством обладают непериодические дифракталы, образовавшиеся, в частности, в результате дифракции плоской однородной волны на случайному фрактальном экране.

#### Литература

- Рытов С.М., Кравцов Ю.А., Татарский В.И. Введение в статистическую радиофизику. Ч. 2: Случайные поля. М., 1978.
- Гудмен Дж. Введение в фурье-оптику. М., 1988.
- Berry M.V. // J. Phys. A: Math. Gen. 1979. **12**, N 6. P. 781.
- Talbot H.F. // Phil. Mag. 1836. **9**. P. 401.
- Марченко В.Г. // Квантовая электроника. 1981. **8**, № 5. С. 1027.
- Лиханский В.В., Напартович А.П. // УФН. 1990. **160**, № 3. С. 101.
- Кандидов В.П., Левакова И.Г. // Квантовая электроника. 1995. **22**, № 1. С. 93.
- Коряковский А.С., Марченко В.М. // ЖТФ. 1981. **51**, № 7. С. 1432.
- Салеев Р.К., Дударева В.Л., Ланкевич С.В. и др. // Медицинская физика. 2001. № 11. С. 34.
- Jaggard D.L., Kim Y. // J. Opt. Soc. Am. A. 1987. **4**, N 6. P. 1055.
- Westerholm J., Turunen J., Huttunen J. // J. Opt. Soc. Am. A. 1994. **11**, N 4. P. 1283.
- Кроновер Р.М. Фракталы и хаос в динамических системах. М., 2000.

Поступила в редакцию  
20.07.03